

九州大学工学部 正員 植東一郎  
 九州大学大学院 学生員 ○北川 三夫  
 九州大学大学院 学生員 橋本 典明  
 九州大学工学部 学生員 矢頭 基秀

## I. まえがき

Sand-Waveの波形はかなり不規則であるため、統計的手法が導入されこれまでに 芦田・田中, Noordin, Yang・Sayreらが、波長・波高分布に関する実験式を提案している。最近 中川・辻本は河床波の波長について車交又問題の成果を適用し、波長の変動係数 $\alpha$ を推定した後に、shape parameter  $r$ が4.5の8ammの分布に従うとしたが、河床波の細断形状 $f_n(x)$ の相関係数 $P_n(3)$ がわからなり限り厳密な解とは言い難い。この点に鑑みて筆者らは、中川らと同様に $f_n(x)$ を車交又問題として考えながらも $P_n(3)$ を用いることなく理論的により妥当と思える波長分布の直接的解法を試み、実験結果と比較した。

## II. 河床波の波長分布に関する統計的性質

今水理条件は、強定常かつ厳密に一樣である（水理条件の分布がすべてこの高次モーメントについて時刻及び場所に依存しない）とすれば、平均河床高からの河床細断形状 $f_n(x)$ の単位長さあたりの車交又確率密度には、一定であると考えることができよう。

この仮定のもとに、区間 $[0, x]$ に含まれる車交又個数が $n$ である確率 $P(n; x)$ とすれば、 $P(n; x)$ に従する方程式として 次式を得る。（図・1）

$$P(n; x+\Delta x) = (1 - f_0(\Delta x)) P(n; x) + P(n-1; x) \Delta x + o(\Delta x) \quad \text{---①}$$

( $o(\Delta x)$ は Landau の small  $o$  で  $\lim_{\Delta x \rightarrow 0} \frac{o(\Delta x)}{\Delta x} = 0$ )

①式を若干変形してやれば次の微分方程式となる。

$$\frac{d}{dx} \{P(n; x)\} = -f_0 \{P(n; x) - P(n-1; x)\} \quad \text{---②}$$

さらに $(n+1)$ 個の車交又間隔の総和の確率密度関数 P. D. F. を $f_n(x)$ と定義すれば、 $f_n(x)$ 及びそのラプラス変換 $\phi_n(s)$ は、③④式であらわされる。

$$f_n(x) = f_0^{(n+1)*}(x) \quad \text{---③}$$

$$\phi_n(s) = \mathcal{L}\{f_n(x)\} = \{\phi_0(s)\}^{n+1} \quad \text{---④}$$

ここで $f_0^{(n+1)*}(x)$ は $f_0(x)$ の $(n+1)$ 重畠込み込みを示す。（図・2）は $f_n(x)$ の場合第1番目の車交又間隔を $X_1$ 、第 $i$ のそれを $X_i$ とし、 $\sum_{i=1}^n X_i = Y_n$ とすれば、

$$P(n; x) = \text{Prob}[Y_{n-1} \leq x < Y_n] \quad \text{---⑤} \quad \text{である。}$$

これを2変数確率問題として取り扱い、 $A = \{Y_{n-1} \mid Y_{n-1} \leq x\}$ 、  
 $B = \{Y_n \mid Y_n > x\}$ なる2集合を考えれば、

$$P(n; x) = \text{Prob}\{A \cap B\} = \text{Prob}\{A\} + \text{Prob}\{B\} - \text{Prob}\{\Omega\} \quad \text{---⑥}$$

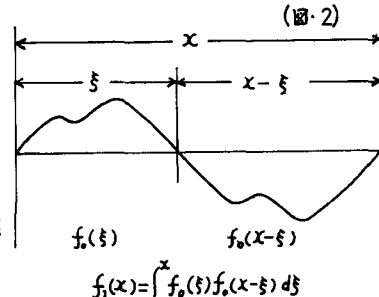
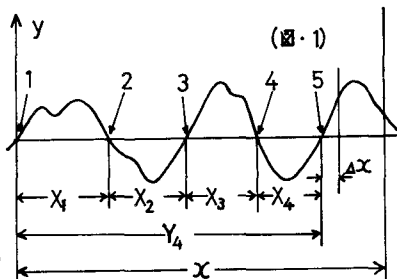
ただし  $\Omega$ ：考える全集合、 $\text{Prob}\{\Omega\} = 1$

$$\text{Prob}\{A\} = \int_0^x f_{n-2}(z) dz, \quad \text{Prob}\{B\} = \int_x^\infty f_{n-1}(z) dz = 1 - \int_0^x f_{n-1}(z) dz$$

従って $P(n; x)$ と $f_n(x)$ の関係式は、⑦式となる。

$$P(n; x) = \int_0^x f_{n-2}(z) dz - \int_x^\infty f_{n-1}(z) dz \propto x \quad \text{---⑦}$$

⑤, ⑦式を使い、⑥式を書き直し、両辺のラプラス変換をとれば、



$$f_{n-2}(x) - f_{n-1}(x) = r_0 \int_0^x \{f_{n-1}(z) - 2f_{n-2}(z) + f_{n-3}(z)\} dz$$

$$\Phi_0(S)^{n-2} \{\Phi_0(S) - 1\} \{(r_0 + S) \Phi_0(S) - r_0\} = 0 \quad \text{--- (8)}$$

⑧式の意味のある解をとれば、 $\Phi_0(S) = r_0 / (r_0 + S)$  を得る。  
ところで波長分布のP.D.F.としては、定義より  $f_i(x)$  {2つ} の重交差間隔の和とのP.D.F.} がこれに相当する。

$$f_i(L) = L^{-1} \{ \Phi_0(S)^2 \} = r_0 \cdot L \cdot \exp(-r_0 L) \quad \text{--- (9)}$$

⑨式より求められる  $L$  は  $2/r_0$ ,  $S_L$  は  $1/\sqrt{2}$  となり、 $2/r_0$  が平均波長に相当するという従来からの指摘に一致する。

⑩式を  $L$  で無次元化すると ⑪式つまり  $r = 2$  の T 分布となる。

$$f_i(z) = 4 z \cdot \exp(-2z) \quad \text{--- (10)} \quad F(z) = \int_0^z f_i(u) du$$

### III. 実験結果及び考察

実験水路は、長さ 18m, 粗粒床区間 10m, 幅 60cm で、解析には粗粒床区間の中央部 8.5m を用いた。下流端には採砂箱を置きサイフォンにより流量が半減された。一方上流端には給砂装置をとりつけ一定量の給砂が行なわれる。実験条件は、 $I_e = 2.76 \times 10^{-3}$ ,  $g = 22.2 \text{ cm}^2/\text{sec}$ ,  $\bar{L} = 5.96 \text{ cm}$ ,  $\bar{F} = F(\xi) = u^2 / S g d = 0.115$ ,  $\phi = 9.73$ ,  $Q_b = 20.7 \text{ cm}^3/\text{min}$ ,  $F = 0.487$  である。なお使用砂は、 $d_{50} = 0.08 \text{ cm}$ ,  $\%e = 2.66$  のものを用いた。河床形状及び水面形は、自走式砂面計測器、サーボ式水位計 [自走速度 2.3 cm/sec] を用い 2 分おきに台車を走らせ、データレコーダに記録した。その後両者とも 0.18cm 刻みでデジタル化し、4746 個のデータを得て大型計算機により零平均化を行なった。測定時間は 3.5 時間で各時刻における波長を零交叉法により求めた。なお実験における波長の  $F(\xi)$  データ数が少ないため前後土 2 分のデータをつなぎあわせた。

平均波長、平均波高、平均波形勾配 ( $H/L$  の平均値) の時間的変化を (図・3) に、波長分布を (図・4, 5) に示した。(図・4) には、 $r = 2$  の T 分布が、(図・5) には芦田らによる L-リー分布、中川らによる  $r = 4$  の T 分布が同時に示してある。

(図・6) (図・7) には、波高分布、波形勾配 ( $H/L$ ) の分布を参考のため示した。今後筆者は実験を重ね、この分布を考慮した波長分布、及び波高分布、波形勾配の分布へ考慮をひろげていきた。なお本論文作成にあたり貴重な助言をいただいた橋本助手、及び実験・データ処理に協力いただいた 藤田・柴田両技官はじめ水理研の方々に感謝します。

#### ◎参考文献

- ①芦田和男・田中祐一朗；京大防災研年報 10 号 B pp.121~132 1967
- ②中川博次・辻本哲郎；土木学会論文報告集 No.291 pp.53~62 1979.11.
- ③ “ ” ; “ ” No.291 pp.73~83 1979.11.

